

III-28 粒状体のせん断構構に関する三次元モデル(その3)

電力中央研究所 正員 德江俊秀

1. はじめに

筆者は、既に、相異なる三主応力下における粒状体のせん断構構に関するモデルについて報告した^①。今回、宮森下部の報告^②に示されたπ平面上の5種の応力経路下での、乾燥砂の実験結果との対応を検討したので報告する。

2. 応力経路とパラメータ

解析に用いた応力経路は、図-1に示すように、π平面上で σ_1 軸から θ の角度で直線的に増加するものである。 θ として、 $0^\circ, 15^\circ, 30^\circ, 45^\circ, 60^\circ$ の5種を考慮した。それぞれのパスにおける応力増分 $d\sigma_1, d\sigma_2, d\sigma_3$ 間の関係を検討してみよう。図-2は、三次元応力空間($\sigma_1, \sigma_2, \sigma_3$)に、π平面を描いたもので、 V は直水圧線($\sigma_1 = \sigma_2 = \sigma_3$)である。ベクトル \vec{OC} の方向余弦は $(\frac{1}{3}, -\frac{1}{3}, -\frac{1}{3})$ である。π平面上で \vec{OC} から θ なる角度で、O点を出発点として直線的に増加する応力増分ベクトル $\vec{OF} = (d\sigma_1, d\sigma_2, d\sigma_3)$ を考える。 \vec{OF} の方向余弦は $(\sqrt{\frac{1}{3}}, \sqrt{\frac{1}{3}}, \sqrt{\frac{1}{3}}) \times (d\sigma_1, d\sigma_2, d\sigma_3)$ であるから、 \vec{OC} と \vec{OF} の内積は、次の様になる。

$$c \cos \theta = \frac{1}{3} \cdot \frac{1}{\sqrt{3}} + (\frac{1}{3})^2 + (\frac{1}{3})^2 \cdot (2d\sigma_1 - d\sigma_2 - d\sigma_3) \quad \dots \dots \dots \quad (1)$$

一方、π平面上では、平均主応力 $P = \frac{1}{3}(\sigma_1 + \sigma_2 + \sigma_3) = \text{一定}$ であるから、次式が成立つ。

$$d\sigma_1 = -d\sigma_2 - d\sigma_3 \quad \dots \dots \dots \quad (2)$$

(1), (2)式から、結局、ベクトル増分 $d\sigma_1, d\sigma_3$ について次式が成立つことになる。

$$(3-4 \cos^2 \theta)(d\sigma_2)^2 + 2(3-2 \cos^2 \theta)d\sigma_2 d\sigma_3 + (3-4 \cos^2 \theta)(d\sigma_3)^2 = 0 \quad \dots \dots \dots \quad (3)$$

(3)式に、 $\theta = 0^\circ, 15^\circ, 30^\circ, 45^\circ, 60^\circ$ をそれぞれ代入して解き、その結果を(2)式に代入することによって、結局、表-1に示すよう、それぞれのストレスパス上での応力増分についての関係が得られることになる。なお、表-1の結果は、モデルの定義に従って、引張り側を正としてある。又、解析で用いたパラメータの定義は、宮森等のそれに従い、次の通りである。但し、引張側を正としてある。

$$\left\{ \begin{array}{l} P = \frac{1}{3}(\sigma_1 + \sigma_2 + \sigma_3), \quad p = \frac{1}{3} \{ (\sigma_1 - \sigma_2)^2 + (\sigma_2 - \sigma_3)^2 + (\sigma_3 - \sigma_1)^2 \}^{1/2} \\ d\sigma_1 = -d\sigma_2 - d\sigma_3, \quad d\sigma_3 = \frac{1}{3} \{ (d\sigma_1 - d\sigma_2)^2 + (d\sigma_2 - d\sigma_3)^2 + (d\sigma_3 - d\sigma_1)^2 \}^{1/2} \end{array} \right. \quad \dots \dots \dots \quad (4)$$

(表-1)

3. ストレス-ダイラタンシー関係

モデルと宮森等のデータとの照合を行う為には、 $\frac{d\sigma_1}{d\varepsilon_1}$ と $\frac{d\sigma_3}{d\varepsilon_3}$ との関係式が、それぞれのパスについて示されなくてはならない。これは、表-1の結果と等方圧縮の初期条件を、モデルから与えられた歪増分と応力応力増分の関係式^③に適用することによって得られる。

3-1. 歪増分と応力および応力増分の関係

三次元モデルで得られた歪増分と応力および応力増分との関係は、次式の通りである。左の表-1に、応力と歪は、共に、引張側を正としている。

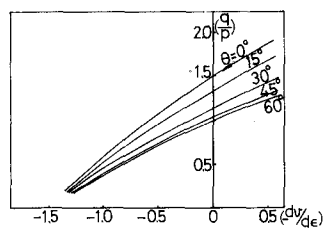
$$d\varepsilon_1 = K(1+\varepsilon_1)^{\frac{1-\alpha}{2}} = K(1+\varepsilon_1) \left\{ M + \frac{1}{F} \cdot \frac{dF}{d\varepsilon_1} \right\} \quad \dots \dots \dots \quad (5)$$

$$\left\{ \begin{array}{l} d\varepsilon_2 = K(1+\varepsilon_2)^{\frac{1-\alpha}{2}} = K(1+\varepsilon_2) \left\{ M + \frac{1}{F} \cdot \frac{dF}{d\varepsilon_2} \right\} \\ d\varepsilon_3 = K(1+\varepsilon_3)^{\frac{1-\alpha}{2}} = K(1+\varepsilon_3) \left\{ M + \frac{1}{F} \cdot \frac{dF}{d\varepsilon_3} \right\} \end{array} \right. \quad \dots \dots \dots \quad (5)$$

$$\text{但し, } F = -(\sigma_1 + \sigma_2 + \sigma_3)^{\frac{1}{2}}, \bar{\varepsilon} = -(\sigma_1 + \sigma_2 + \sigma_3)^{\frac{1}{2}}, \bar{P} = (\sigma_1 + \sigma_2 + \sigma_3)^{\frac{1}{2}}, \Delta^2 = (dF)^2 / (d\varepsilon_1)^2 + (dF)^2 / (d\varepsilon_2)^2 \quad \dots \dots \dots \quad (6)$$

$$dF = \left(\frac{1}{2} \right) (-\sigma_1 - \sigma_2 - \sigma_3)^{\frac{1}{2}} (-\sigma_1)^{\frac{1}{2}} \{ -(\sigma_2 + \sigma_3) d\sigma_1 + \sigma_1 (d\sigma_2 + d\sigma_3) \} \quad \dots \dots \dots \quad (7)$$

θ	応力増分関係
0°	$d\sigma_3 = d\sigma_2 = -\frac{1}{2} d\sigma_1 > 0$
15°	$d\sigma_3 = 0.366 d\sigma_2, d\sigma_2 = -1.366 d\sigma_1 < 0$
30°	$d\sigma_3 = -d\sigma_2 < 0, d\sigma_2 = 0$
45°	$d\sigma_3 = -(1-\sqrt{2}) d\sigma_2 < 0, d\sigma_2 = -(2-\sqrt{2}) d\sigma_1 < 0$
60°	$d\sigma_3 = d\sigma_2 = -\frac{1}{2} d\sigma_1 < 0$



(図-3. ストレス-ダイラタンシー関係(σ₁の影響))

$$\left\{ \begin{array}{l} d\bar{\sigma}_1 = \left(\frac{1}{2}\right) (-\sigma_1 - \sigma_2 - \sigma_3)^{\frac{1}{2}} (-\sigma_i)^{\frac{1}{2}} \{ -(\sigma_3 + \sigma_i) d\sigma_2 + \sigma_2 (d\sigma_3 + d\sigma_i) \} \\ d\bar{\sigma}_2 = \left(\frac{1}{2}\right) (-\sigma_1 - \sigma_2 - \sigma_3)^{\frac{1}{2}} (-\sigma_i)^{\frac{1}{2}} \{ -(\sigma_1 + \sigma_2) d\sigma_3 + \sigma_3 (d\sigma_1 + d\sigma_i) \} \end{array} \right.$$

以下の解析では、(5)式で $1 + \varepsilon_i \approx 1$ ($i=1, 2, 3$) としている。

3-2 $\theta = \theta^{\circ}$ の場合

表-1の結果と(7)式より $\theta = 0^{\circ}$ の場合は、次式が成立す。

$$d\bar{\sigma}_1 = \left(\frac{1}{2}\right) (-\sigma_1 - \sigma_2 - \sigma_3)^{\frac{1}{2}} (-\sigma_i)^{\frac{1}{2}} 2 (\sigma_1 + 2\sigma_3) d\sigma_3$$

$$d\bar{\sigma}_2 = d\bar{\sigma}_3 = \left(\frac{1}{2}\right) (-\sigma_1 - \sigma_2 - \sigma_3)^{\frac{1}{2}} (-\sigma_i)^{\frac{1}{2}} (-1) (\sigma_1 + 2\sigma_3) d\sigma_3$$

$$\therefore \frac{d\bar{\sigma}_1}{d\sigma_3} = \left(\frac{1}{2}\right) (\sigma_1/\sigma_3)^{\frac{1}{2}} = \left(-\frac{1}{2}\right) R_{13}^{\frac{1}{2}}, \text{ 但し } R_{ij} = \sigma_i/\sigma_j \quad (i, j = 1, 2, 3)$$

$$\therefore \frac{d\bar{\sigma}_2}{d\sigma_3} = -\sqrt{2}/R_{13} + 2, \quad \frac{d\bar{\sigma}_3}{d\sigma_3} = \frac{d\bar{\sigma}_1}{d\sigma_3} = \sqrt{R_{13}}/\sqrt{2(R_{13} + 2)}, \quad \frac{1}{F} = -\sqrt{R_{13} + 2}/\sqrt{R_{13}}, \quad \frac{1}{P} = -\sqrt{R_{13}}/\sqrt{2}$$

以上を(5)式に代入すると、

$$d\epsilon_1 = K/\sqrt{1+\mu^2} \cdot \{ M + \sqrt{2}/\sqrt{R_{13}} \}, \quad d\epsilon_2 = d\epsilon_3 = K/\sqrt{1+\mu^2} \cdot \{ M - \sqrt{R_{13}/P} \}$$

$$\therefore d\sigma = K/\sqrt{1+\mu^2} \cdot \{ 3M + \sqrt{2}/\sqrt{R_{13}} - \sqrt{2R_{13}} \}, \quad d\epsilon = \frac{2}{3} \cdot K/\sqrt{1+\mu^2} \cdot \{ \sqrt{2}/\sqrt{R_{13}} + \sqrt{R_{13}/P} \}$$

$$\therefore -\frac{d\sigma}{d\epsilon} = \frac{3}{2} \cdot \{ \sqrt{2R_{13}} - \sqrt{2}/\sqrt{R_{13}} - 3M \} / \{ \sqrt{2}/\sqrt{R_{13}} + \sqrt{R_{13}/P} \}$$

$$\therefore -\frac{d\sigma}{d\epsilon} = \frac{3}{P} - \frac{M}{\sqrt{2}} - \frac{\sqrt{3}(3 - \frac{3}{P})(3 + 2\sqrt{\frac{2}{P}})}{(B = 0^{\circ})}$$

$$\text{同様にして, } -\frac{d\sigma}{d\epsilon} = -\frac{3}{2} \cdot \{ \sqrt{3}M/\sqrt{P} + 1.366R_{32} - 0.366R_{12} - 1 \} / \{ S^2 + T^2 + V^2 \}^{\frac{1}{2}}, \quad (B = 15^{\circ})$$

$$\text{(但し, } D = 1 + 1.866R_{31} + 0.134R_{32}, \sqrt{D}/\sqrt{P} = 1 - 0.471\sqrt{\frac{3}{P}}, S = 1.366R_{31} + 0.366R_{32}, \text{)}$$

$$\begin{aligned} & T = 0.366R_{32} - 1, V = 1.366R_{31} + 1, R_{31} = (1 - 0.471\sqrt{\frac{3}{P}})/(1 + 0.144\sqrt{\frac{3}{P}}), R_{32} = (1 - 0.471\sqrt{\frac{3}{P}})/(1 - 0.1725\sqrt{\frac{3}{P}}) \\ & -\frac{d\sigma}{d\epsilon} = \{ 3\sqrt{\frac{3}{P}} - 3\sqrt{3}/\sqrt{2} \cdot \mu \cdot \sqrt{3 - (\frac{3}{P})^2} \} / \{ (\frac{3}{P})^2 + 9 \}^{\frac{1}{2}} \quad (B = 30^{\circ}) \end{aligned}$$

$$-\frac{d\sigma}{d\epsilon} = -\frac{3}{2} \cdot \{ \sqrt{3}M/\sqrt{P} + (\sqrt{3} - 1)R_{31} + (2 - \sqrt{3})R_{32} - 1 \} / \{ X^2 + Y^2 + Z^2 \}^{\frac{1}{2}}, \quad (B = 45^{\circ})$$

$$\text{(但し, } E = 1 + 2(2 - \sqrt{3})R_{31} + (7 - 4\sqrt{3})R_{32}, \sqrt{E}/\sqrt{P} = 1 - \sqrt{3} \cdot (2 - \sqrt{3})^{\frac{1}{2}} \cdot \frac{3}{P}, X = (\sqrt{3} - 1)R_{31} - (2 - \sqrt{3})R_{32}, \text{)}$$

$$Y = (2 - \sqrt{3})R_{32} + 1, Z = (\sqrt{3} - 1)R_{31} + 1, R_{31} = \{ 1 - \sqrt{3}/(2 - \sqrt{3}) \cdot \frac{3}{P} \} / \{ 1 + (\sqrt{3} - 1)/3(2 - \sqrt{3}) \cdot \frac{3}{P} \}$$

$$R_{32} = \{ 1 - \sqrt{3}/(2 - \sqrt{3}) \cdot \frac{3}{P} \} / \{ 1 + \sqrt{2 - \sqrt{3}}/3 \cdot \frac{3}{P} \}$$

$$-\frac{d\sigma}{d\epsilon} = \frac{8}{P} - \frac{3}{2} \cdot \mu \cdot \sqrt{(\frac{3}{P})^2 + 2} \cdot (1 - \frac{2}{3} \cdot \frac{3}{P}) \quad (B = 60^{\circ})$$

4. 実験結果との対応

物理摩擦角 $\theta_m = 35^{\circ}$ として、上記のストレッス-ダイラタンシ-式から得られた結果を図-3に示す。これより、 θ が大きくなるにつれて、曲線が平行移動してきており、宮森等の結果と定性的には一致しているのが認められる。

図-4(1)～(5)は、より詳細に実験結果と対応させたものである。これから、実験結果とはほぼ良い一致を示しているのが判るが、 $\theta_m = 35^{\circ}$ は、物理摩擦角としては、大きすぎるようと思われ、このあたりで、今後の課題の一つが、残されているように思われる。

5. 終りに

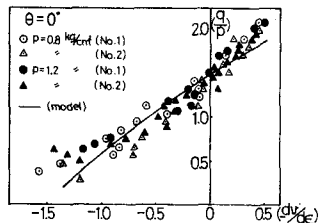
三次元応力状態下の砂の挙動の一部が、定性的には、本モデルで表現し得ていることが判明した。今後、平面歪条件下的応力の関係について報告していくかとも思っていい。未筆ながら、貴重なデータを送って下さり、又、復向とも快く応じて下さった日本理工業部 宮森先生に深謝の意を表します。

6. 参考文献

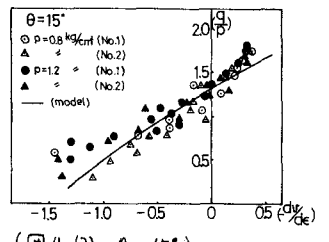
①: 徳江「粒状体のセシ断構に因する三次元モデル」, 1975, 6, 第10回土質工学会

②: 徳江「 $\theta_m = 35^{\circ}$ 」, 1976, 6, 第11回土質工学会

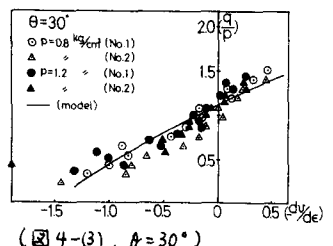
③: 下部・宮森「乾燥砂の多軸圧縮試験(第3報)」, 1975, 10, 第30回土木学会



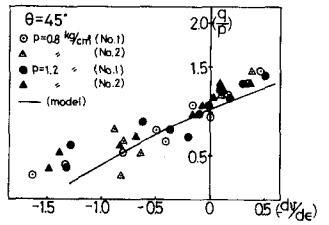
(図 4-(1), $\theta = 0^{\circ}$)



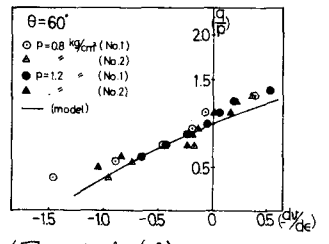
(図 4-(2), $\theta = 15^{\circ}$)



(図 4-(3), $\theta = 30^{\circ}$)



(図 4-(4), $\theta = 45^{\circ}$)



(図 4-(5), $\theta = 60^{\circ}$)